



# Экономический и Социальный Совет

Distr.: General  
21 November 2023  
Russian  
Original: English

## Европейская экономическая комиссия

Комитет по внутреннему транспорту

Всемирный форум для согласования правил  
в области транспортных средств

Рабочая группа по вопросам шума и шин

Семьдесят девятая сессия

Женева, 6–9 февраля 2024 года

Пункт 7 d) предварительной повестки дня

Шины: Правила № 117 ООН (сопротивление шин качению,  
шум, издаваемыйшинами при качении, и их сцепление  
на мокрой поверхности)

## Предложение по дополнению 2 к поправкам серии 04 к Правилам № 117 ООН

Представлено экспертами от Европейской технической  
организации по вопросам пневматических шин и ободьев колес\*

Воспроизведенный ниже текст был подготовлен экспертами от Европейской технической организации по вопросам пневматических шин и ободьев колес (ЕТОПОК) и призван дополнить предложение по поправкам, принятое на семьдесят восьмой сессии Рабочей группы по вопросам шума и шин (GRBP) (неофициальный документ GRBP-78-05, заменяющий документ ECE/TRANS/WP.29/GRBP/2023/19). Изменения к существующему тексту Правил ООН выделены жирным шрифтом в случае новых элементов или зачеркиванием в случае исключенных элементов.

\* В соответствии с программой работы Комитета по внутреннему транспорту на 2024 год, изложенной в предлагаемом бюджете по программам на 2024 год (A/78/6 (разд. 20), таблица 20.5), Всемирный форум будет разрабатывать, согласовывать и обновлять правила ООН в целях улучшения характеристик транспортных средств. Настоящий документ представлен в соответствии с этим мандатом.



## I. Предложение

*Пункт 2.18 изменить следующим образом:*

- «2.18 «Стандартная эталонная испытательная шина», или “СЭИШ”, означает шину, которая изготавливается, проверяется и хранится в соответствии со стандартами “АСТМ интернэшнл”:
- E1136 — **4719** для размера P195/75R14 и которую называют “СЭИШ14”;
  - F2493 — **2023** для размера P225/60R16 и которую называют “СЭИШ16”;
  - F3611 — **22e1** для размера P225/60R16 в изношенном состоянии и которую называют “изношенная СЭИШ16 с формованным покрытием”;
  - F2872 — **4619** для размера 225/75R16C и которую называют “СЭИШ16C”;
  - F2871 — **4623** для размера 245/70R19,5 и которую называют “СЭИШ19,5”;
  - F2870 — **4623** для размера 315/70R22,5 и которую называют “СЭИШ22,5”;
  - F3678 — 23** для размера 245/70R19,5 и которую называют “СЭИШ19,5 с узкими прорезями”;
  - F3677 — 23** для размера 315/70R22,5 и которую называют “СЭИШ22,5 с узкими прорезями”».

*Пункт 6.5.1 изменить следующим образом:*

- «6.5.1 Требования, касающиеся эффективности шин классов C1, C2 и C3 на заснеженном дорожном покрытии

Минимальное значение коэффициента эффективности на заснеженном дорожном покрытии, рассчитанное в соответствии с процедурой, описанной в приложении 7, по сравнению с СЭИШ должно быть следующим:

| Класс шины | Коэффициент сцепления шины с заснеженным дорожным покрытием<br>(метод торможения на снегу) <sup>a)</sup> | Коэффициент сцепления шины с заснеженным дорожным покрытием<br>(метод испытания тяги на повороте) <sup>b)</sup> | Коэффициент сцепления шины с заснеженным дорожным покрытием<br>(метод ускорения) <sup>c)</sup> |  |
|------------|--|---|--|--|
|            | Эталон = СЭИШ14, СЭИШ16  | Эталон = СЭИШ16C  | Эталон = СЭИШ14, СЭИШ16  | Эталоны = СЭИШ19,5, СЭИШ22,5, СЭИШ19,5 с узкими прорезями, СЭИШ22,5 с узкими прорезями |
| C1         | 1,07   | н.д.  | 1,10   | н.д.   |
| C2         | н.д.   | 1,02  | 1,10   | н.д.   |
| C3         | н.д.   | н.д.  | н.д.   | 1,25   |

<sup>a)</sup> См. пункт 3 приложения 7 к настоящим Правилам.

<sup>b)</sup> См. пункт 2 приложения 7 к настоящим Правилам.

<sup>c)</sup> См. пункт 4 приложения 7 к настоящим Правилам».

*Включить новые пункты 12.21–12.26 следующего содержания:*

- «12.21 Начиная с 1 сентября 2028 года Договаривающиеся стороны, применяющие настоящие Правила, не обязаны признавать официальные утверждения типа, впервые предоставленные после 31 августа 2028 года в соответствии с дополнением [2] к поправкам серии 04 к настоящим Правилам на основе процедур испытаний для измерения эффективности сцепления шин в новом состоянии с мокрым дорожным покрытием, описанных в приложении 5 к настоящим Правилам, с использованием в качестве эталона одной из двух эквивалентных стандартных эталонных испытательных шин СЭИШ19,5 или СЭИШ22,5.
- 12.22 Начиная с 1 сентября 2028 года Договаривающиеся стороны, применяющие настоящие Правила, не обязаны признавать официальные утверждения типа, впервые предоставленные после 31 августа 2028 года в соответствии с дополнением [2] к поправкам серии 04 к настоящим Правилам на основе процедур испытаний для определения эффективности на заснеженном дорожном покрытии, описанных в приложении 7 к настоящим Правилам, с использованием в качестве эталона одной из двух эквивалентных стандартных эталонных испытательных шин СЭИШ19,5 или СЭИШ22,5.
- 12.23 Независимо от положений пункта 12.21 Договаривающиеся стороны, применяющие настоящие Правила, продолжают предоставлять распространения существующих официальных утверждений типа шин класса C3 в соответствии с поправками серии 04 к настоящим Правилам, впервые предоставленных до 1 сентября 2028 года на основе процедур испытаний для измерения эффективности сцепления шин в новом состоянии с мокрым дорожным покрытием, описанных в приложении 5 к настоящим Правилам, с использованием в качестве эталона одной из двух эквивалентных стандартных эталонных испытательных шин СЭИШ19,5 или СЭИШ22,5. Если для целей распространения, подлежащего предоставлению после 1 сентября 2028 года, требуется проведение нового испытания на репрезентативнойшине другого размера, то используют “СЭИШ19,5 с узкими прорезями” или “СЭИШ22,5 с узкими прорезями”.
- 12.24 Независимо от положений пункта 12.22 Договаривающиеся стороны, применяющие настоящие Правила, продолжают предоставлять распространения существующих официальных утверждений типа шин класса C3 в соответствии с поправками серии 04 к настоящим Правилам, впервые предоставленных до 1 сентября 2028 года, на основе процедур испытаний для определения эффективности на заснеженном дорожном покрытии, описанных в приложении 7 к настоящим Правилам, с использованием в качестве эталона либо СЭИШ19,5, либо СЭИШ22,5. Если для целей распространения, подлежащего предоставлению после 1 сентября 2028 года, требуется проведение нового испытания на репрезентативнойшине другого размера, то используют “СЭИШ19,5 с узкими прорезями” или “СЭИШ22,5 с узкими прорезями”.
- 12.25 Начиная с момента вступления в силу настоящего дополнения и до 31 августа 2028 года Договаривающиеся стороны, применяющие настоящие Правила, признают официальные утверждения типа на основании дополнения [2] к поправкам серии 04 к настоящим Правилам, впервые предоставленные до 1 сентября 2028 года, если характеристики испытательного трека для измерения эффективности сцепления шин в новом состоянии с мокрым

дорожным покрытием установлены с использованием следующих эталонных шин:

| Класс шины | Эталонные шины  |
|------------|---|
| C2         | СЭИШ16 или СЭИШ16С  |
| C3         | СЭИШ16, СЭИШ19,5, СЭИШ22,5, СЭИШ19,5 с узкими прорезями или СЭИШ22,5 с узкими прорезями |

- 12.26 Начиная с 1 сентября 2028 года Договаривающиеся стороны, применяющие настоящие Правила, не обязаны признавать официальные утверждения типа, выданные на основании дополнения [2] к поправкам серии 04 к настоящим Правилам, если характеристики испытательного трека для измерения эффективности сцепления шин в новом состоянии с мокрым дорожным покрытием не были установлены с использованием следующих эталонных шин:

| Класс шины | Эталонные шины  |
|------------|---|
| C2         | СЭИШ16С   |
| C3         | СЭИШ19,5 с узкими прорезями или СЭИШ22,5 с узкими прорезями |

»

Приложение 5, часть В, пункт 1.1 и его подпункты изменить следующим образом:

- «1.1 Характеристики испытательного трека  
Поверхность должна представлять собой плотную асфальтовую поверхность с равномерным уклоном, градиент которого не превышает 2 %, а ее отклонение при проверке с использованием трехметровой линейки не должно превышать на 6 мм.  
Покрытие испытательной поверхности должно быть однородным с точки зрения срока эксплуатации, состава и степени износа. На испытательной поверхности не должно быть рыхлых материалов или инородных отложений.  
Максимальный размер скола должен составлять от 8 до 13 мм.  
Средняя глубина текстуры, измеряемая по методу, указанному в стандарте ASTM E 965-96 (подтвержденном в 2006 году), должна составлять  $(0,7 \pm 0,3)$  мм.  
1.1.1 Величина поверхностного трения на мокрой площадке определяется при помощи одного или другого из указанных ниже методов в зависимости от класса потенциальной шины и метода (с использованием прицепа или транспортного средства) по усмотрению Договаривающейся стороны.

| Класс шины | СЭИШ               | Метод с использованием прицепа, диапазон значений $\mu_{peak}$ | Метод с использованием транспортного средства, диапазон значений BFC |
|------------|--------------------|--|--|
| C2, C3     | СЭИШ16             | 0,65–0,90  | -  |
| C2         | СЭИШ16С            | 0,44–0,77  | 0,36–0,69  |
| C3         | СЭИШ19,5, СЭИШ22,5 | 0,51–0,67  | 0,35–0,61  |

| <i>Класс шины</i> | <i>СЭИШ</i>   | <i>Метод с использованием прицепа, диапазон значений <math>\mu_{peak}</math></i> | <i>Метод с использованием транспортного средства, диапазон значений BFC</i> |
|-------------------|---|--|---|
| <b>C3</b>         | <b>СЭИШ19,5 с узкими прорезями, СЭИШ22,5 с узкими прорезями</b> | <b>0,53–0,70</b>   | <b>0,36–0,64</b>  |

**1.1.1.1** Метод, предполагающий использование стандартной эталонной испытательной шины **СЭИШ16**

**В данном методе не используется СЭИШ16.**

С использованием **процедуры, описанной метода, описанного в пункте 4.2 части А настоящего приложения**, в той же зоне, где измерялась средняя глубина текстуры, проводят одно испытание на торможение эталонной шины, состоящее из по крайней мере шести (6) испытательных прогонов в одном и том же направлении.

Производят оценку результатов испытания на торможение, как это предусмотрено в пунктах 4.2.8.1 и 4.2.8.2 части А настоящего приложения. Если коэффициент разброса  $CV\mu$  превышает 4 %, результаты не учитывают и испытание на торможение повторяют.

Среднее арифметическое ( $\overline{\mu_{peak}}$ ) измеренных значений пиковых коэффициентов тормозной силы корректируют с учетом температурного воздействия следующим образом:

$$\mu_{peak,corr} = \overline{\mu_{peak}} + a \cdot (\vartheta - \vartheta_0)$$

где:

$\vartheta$  – температура мокрой поверхности трека в градусах Цельсия,

$a = 0,002 \text{ }^{\circ}\text{C}^{-1}$  и  $\vartheta_0 = 20 \text{ }^{\circ}\text{C}$ .

Скорректированный по температуре средний пиковый коэффициент тормозной силы ( $\mu_{peak,corr}$ ) должен составлять не менее 0,65 и не более 0,90.

Испытание проводят с использованием тех полос движения и той длины испытательного трека, которые предусмотрены для измерения показателя сцепления с мокрым дорожным покрытием.

В случае применения метода с использованием прицепа испытание проводится таким образом, чтобы торможение начиналось на расстоянии 10 м от места замера характеристик поверхности.

**1.1.1.2** **Метод, предполагающий использование стандартной эталонной испытательной шины СЭИШ16С, СЭИШ19,5, СЭИШ22,5, СЭИШ19,5 с узкими прорезями, СЭИШ22,5 с узкими прорезями**

**1.1.1.2.1** С использованием метода, описанного в пункте 2.1 части В настоящего приложения, в той же зоне, где измерялась средняя глубина текстуры, проводят одно испытание на торможение эталонной шины, состоящее из по крайней мере восьми (8) зачетных испытательных прогонов в одном и том же направлении в ходе одного и того же испытания.

Производят оценку результатов испытания на торможение, как это предусмотрено в пунктах 2.1.2.12 и 2.1.2.13 части В настоящего приложения. Если коэффициент разброса  $CV\mu$  превышает 5 %, результаты не учитывают и испытание на торможение повторяют.

**Корректировку по температуре не проводят.**

**Средний пиковый коэффициент тормозной силы ( $\bar{\mu}_{peak}$ ) должен находиться в диапазоне, указанном в таблице в пункте 1.1.1.**

**Испытание проводят с использованием тех полос движения и той длины испытательного трека, которые предусмотрены для измерения показателя сцепления с мокрым дорожным покрытием.**

- 1.1.1.2.2** С использованием метода, описанного в пункте 2.2 части В настоящего приложения, в той же зоне, где измерялась средняя глубина текстуры, проводят одно испытание на торможение эталонной шины, состоящее из по крайней мере шести (6) зачетных испытательных прогонов в одном и том же направлении в ходе одного и того же испытания.

Производят оценку результатов испытания на торможение, как это предусмотрено в пунктах 2.2.2.7.1, 2.2.2.7.2 и 2.2.2.7.4 части В настоящего приложения. Если коэффициент разброса  $CV_{BFC}$  превышает 3 %, результаты не учитывают и испытание на торможение повторяют.

**Корректировку по температуре не проводят.**

**Коэффициент тормозной силы ( $\bar{BFC}$ ) должен находиться в диапазоне, указанном в таблице в пункте 1.1.1.**

**Испытание проводят с использованием тех полос движения и той длины испытательного трека, которые предусмотрены для измерения показателя сцепления с мокрым дорожным покрытием.».**

*Пункт 1.4 изменить следующим образом:*

- «1.4** Для того чтобы охватить все размеры шин, предназначенных для грузовых транспортных средств, с целью измерения относительного коэффициента сцепления с мокрым дорожным покрытием используют стандартные эталонные испытательные шины (СЭИШ), как показано в следующей таблице:

| <i>Для шин класса C3</i>   |                                |
|--|--------------------------------|
| <i>СЭИШ19,5, СЭИШ22,5, СЭИШ19,5 с узкими прорезями или СЭИШ22,5 с узкими прорезями</i> |                                |
| <i>Узкая серия</i>   | <i>Широкая серия</i>           |
| $S_{Nominal} < 285 \text{ мм}$   | $S_{Nominal} > 285 \text{ мм}$ |
| <i>СЭИШ19,5</i>  | <i>СЭИШ22,5</i>                |
| <i>Для шин класса C2</i>   |                                |
| <i>СЭИШ16С</i>   |                                |
| <i><math>S_{Nominal}</math> = номинальная ширина профиля шины</i>                      |                                |

»

*Пункт 2.1.2.13 изменить следующим образом:*

- «2.1.2.13** Проверка результатов:

Для эталонной шины:

- a)** Если коэффициент разброса пикового коэффициента тормозной силы эталонной шины  $CV_{\mu}$ , рассчитанный по формуле из пункта 4.2.8.2 части А настоящего приложения, выше 5 %, то все данные не учитываются и испытание для этой эталонной шины повторяют.

- b) Средние пиковые коэффициенты тормозной силы ( $\bar{\mu}_{peak}$ , см. пункт 1.1.1.2.1 настоящего приложения), рассчитанные по первоначальному и заключительному испытаниям на торможение эталонной шины в рамках испытательного цикла, должны находиться в диапазоне, указанном в таблице в пункте 1.1.1.

**Если одно или более из вышеуказанных условий не соблюдаются, то весь испытательный цикл проводят заново.**

Для потенциальных шин:

...»

*Пункт 2.1.2.14 изменить следующим образом:*

«2.1.2.14 Коэффициент сцепления с мокрым дорожным покрытием (G) рассчитывают следующим образом:

Коэффициент сцепления с мокрым дорожным покрытием:

$$(G) = \mu_{peak,ave-(T)} / \mu_{peak,ave-(R)} (G) = f \cdot \frac{\mu_{peak,ave-(T)}}{\mu_{peak,ave-(R)}}$$

где:

| <i>Для шин класса С2<br/>СЭИШ16С</i> |   |
|--------------------------------------|---|
| <i>f = 1</i>                         |   |
| <i>Для шин класса С3</i>             |   |
| <i>СЭИШ19,5, СЭИШ22,5</i>            | <i>СЭИШ19,5 с узкими прорезями,<br/>СЭИШ22,5 с узкими прорезями</i> |
| <i>f = 1</i>                         | <i>f = 1,04</i>   |

*f: поправочный коэффициент, значение которого зависит от используемой СЭИШ.*

Он представляет собой относительный коэффициент сцепления с мокрым дорожным покрытием, характеризующий эффективность торможения потенциальной шины (T) по сравнению с эталонной шиной (R)».

*Пункт 2.2.4 изменить следующим образом:*

«2.2.2.4 Нагрузка на шину

Статическая нагрузка на каждую ось должна оставаться неизменной в процессе осуществления всей процедуры проведения испытания. Статическая нагрузка на каждуюшину оси, выраженная в процентах от номинальной статической нагрузки и округленная до ближайшего целого числа, должна находиться в пределах 60–100 % от несущей способности СЭИШ и потенциальной шины. Это значение не должно превышать 100 % несущей способности эталонной шины.

Нагрузки на шины на одной и той же оси не должны различаться более чем на 10 %.

Монтаж в соответствии с конфигурациями 2 и 3 должен отвечать следующим дополнительным требованиям:

Конфигурация 2: нагрузка на переднюю ось > нагрузки на заднюю ось.

Задняя ось может быть оснащена двумя или четырьмя шинами.

Конфигурация 3: нагрузка на заднюю ось > нагрузки на переднюю ось x 1,8».

*Пункт 2.2.2.7.2 изменить следующим образом:*

«2.2.2.7.2 Проверка результатов:

Для эталонной шины:

a) Если коэффициент разброса «AD» для каждого из двух последовательных групп из 3 прогонов эталонной шины выше 3 %, то все данные не учитываются и испытание повторяют для всех шин (потенциальных шин и эталонных шин). Коэффициент разброса рассчитывают по следующей формуле:

$$\frac{\text{стандартное отклонение}}{\text{среднее значение}} \times 100.$$

b) Средние коэффициенты тормозной силы ( $BFC$ , см. пункт 1.1.1.2 настоящего приложения), рассчитанные по первоначальному и заключительному испытаниям на торможение эталонной шины в рамках испытательного цикла, должны находиться в диапазоне, указанном в таблице в пункте 1.1.1.

**Если одно или более из вышеуказанных условий не соблюдаются, то весь испытательный цикл проводят заново.**

Для потенциальных шин:

Коэффициенты разброса рассчитывают для всех потенциальных шин.

$$\frac{\text{стандартное отклонение}}{\text{среднее значение}} \times 100.$$

Если один из коэффициентов разброса выше 3 %, то данные для этой потенциальной шины не учитываются и испытание повторяют».

*Пункт 2.2.2.7.5 изменить следующим образом:*

«2.2.2.7.5 Расчет относительного коэффициента сцепления с мокрым дорожным покрытием

Коэффициент сцепления с мокрым дорожным покрытием представляет собой относительную характеристику потенциальной шины по сравнению с эталонной шиной. Способ его расчета зависит от конфигурации испытания согласно пункту 2.2.2.2 настоящего приложения. Коэффициент сцепления шины с мокрым дорожным покрытием,  $G$ , рассчитывают в соответствии с таблицей 7:

Таблица 7

|  |  |
|--|--|
| Конфигурация C1: потенциальные шины на обеих осях                                  | $G = f \cdot \frac{BFC(T)}{BFC(R)}$  |
| Конфигурация C2: потенциальные шины на передней оси и эталонные шины на задней оси | $G = f \cdot \frac{BFC(T) \cdot [a+b+h \cdot BFC(R)] - a \cdot BFC(R)}{BFC(R) \cdot [b+h \cdot BFC(T)]}$   |
| Конфигурация C3: эталонные шины на передней оси и потенциальные шины на задней оси | $G = f \cdot \frac{BFC(T) \cdot [-a-b+h \cdot BFC(R)] + b \cdot BFC(R)}{BFC(R) \cdot [-a+h \cdot BFC(T)]}$ |

где:

|                                      |   |
|--------------------------------------|---|
| <i>Для шин класса С2<br/>СЭИШ16С</i> |   |
| <i>f = 1</i>                         |   |
| <i>Для шин класса С3</i>             |   |
| <b>СЭИШ19,5, СЭИШ22,5</b>            | <b>СЭИШ19,5 с узкими прорезями,<br/>СЭИШ22,5 с узкими прорезями</b> |
| <i>f = 1</i>                         | <i>f = 1,04</i>   |

где (см. также рис. 1):

*f*: поправочный коэффициент, значение которого зависит от используемой СЭИШ;

*cog*: центр тяжести груженого транспортного средства;

*m*: масса (в кг) груженого транспортного средства;

*a*: горизонтальное расстояние между передней осью и центром тяжести груженого транспортного средства (м);

*b*: горизонтальное расстояние между задней осью и центром тяжести груженого транспортного средства;

*h*: вертикальное расстояние от поверхности земли до центра тяжести груженого транспортного средства (м).

*Примечание*: когда значение *h* точно не известно, применяют следующие значения, соответствующие наихудшему сценарию: 1,2 для конфигурации С2 и 1,5 для конфигурации С3.

*γ*: ускорение груженого транспортного средства ( $\text{м}/\text{с}^2$ );

*g* : ускорение свободного падения ( $\text{м}/\text{с}^2$ );

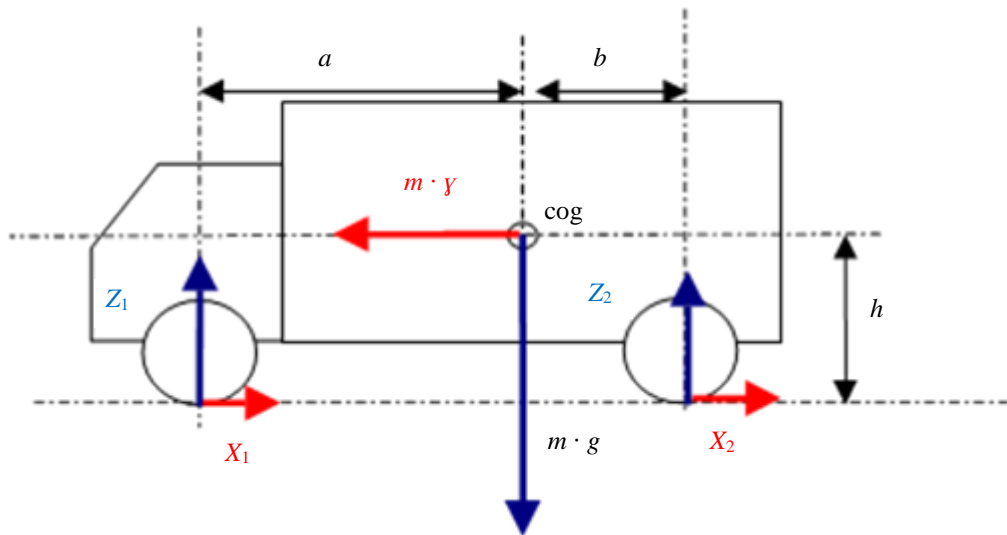
*X<sub>1</sub>*: продольная (по направлению оси X) реакция передней шины на дороге;

*X<sub>2</sub>*: продольная (по направлению оси X) реакция задней шины на дороге;

*Z<sub>1</sub>*: перпендикулярная (по направлению оси Z) реакция передней шины на дороге;

*Z<sub>2</sub>*: перпендикулярная (по направлению оси Z) реакция задней шины на дороге.

Рис. 1  
Схематическое разъяснение, касающееся коэффициента сцепления шины



»

*Пункт 2.2.2.8.4 изменить следующим образом:*

«2.2.2.8.4 Коэффициент сцепления с мокрым дорожным покрытием потенциальной шины по сравнению с эталонной шиной выводят путем умножения значений относительной эффективности, рассчитанных выше:

(коэффициент сцепления с мокрым дорожным покрытием 1 x  
коэффициент сцепления с мокрым дорожным покрытием 2).

*Примечание: Когда экзаменер по проведению испытания решает использовать в качестве контрольной шину СЭИШ (т. е. в ходе процедуры испытания идет прямое сопоставление двух СЭИШ вместо сравнения одной СЭИШ с контрольной шиной), результат сопоставления СЭИШ называется “локальным коэффициентом сцепления”.*

*Допускается использование предыдущего сопоставления СЭИШ.*

*Результаты сопоставления должны периодически проверяться».*

*Приложение 5, добавление изменить следующим образом:*

### «Примеры протоколов испытания для определения коэффициента сцепления шин в новом состоянии с мокрым дорожным покрытием

*Пример 1: Протокол испытания для определения коэффициента сцепления шин в новом состоянии с мокрым дорожным покрытием на основе метода с использованием прицепа или транспортного средства, оборудованного для испытания шин*

|                            |                 |          |
|----------------------------|-----------------|----------|
| Номер протокола испытания: | Дата испытания: |          |
| Трек:                      | Миним.:         | Максим.: |
| Глубина текстуры (мм):     |                 |          |
| $\mu_{peak,corr}^{4)}$ :   |                 |          |
| Толщина слоя воды (мм):    |                 |          |
| Скорость (км/час):         |                 |          |

| <i>№</i>   | <i>I</i> | 2 | 3 | 4 | 5       |
|--|----------|---|---|---|---------|
| Марка  |          |   |   |   |         |
| Рисунок/комерческое описание                                   | СЭИШ...  |   |   |   | СЭИШ... |
| Размер   |          |   |   |   |         |
| Эксплуатационное описание                                      |          |   |   |   |         |
| Исходное (испытательное) давление в шине <sup>1)</sup> , (кПа) |          |   |   |   |         |
| Идентификационный номер шины                                   |          |   |   |   |         |
| Маркировка M+S (да/нет)  |          |   |   |   |         |
| Маркировка 3PMSS (да/нет)                                      |          |   |   |   |         |
| Обод   |          |   |   |   |         |
| Нагрузка (кг)  |          |   |   |   |         |
| Давление (кПа)   |          |   |   |   |         |
| $\mu_{peak}$   | 1        |   |   |   |         |
|  | 2        |   |   |   |         |
|  | 3        |   |   |   |         |
|  | 4        |   |   |   |         |
|  | 5        |   |   |   |         |
|  | 6        |   |   |   |         |
|  | 7        |   |   |   |         |
|  | 8        |   |   |   |         |
| $\bar{\mu}_{peak}$   |          |   |   |   |         |
| Стандартное отклонение, $\sigma_\mu$                           |          |   |   |   |         |
| $CV\mu \leq 4\%$ <sup>2)</sup>                                 |          |   |   |   |         |
| $CVal(\mu_{peak}) \leq 5\%$ <sup>3)</sup>                      | X        | X | X | X | X       |
| $\mu_{peak,corr}(R)$   | X        | X | X | X | X       |
| $\mu_{peak,adj}(R)$  | X        | X | X | X | X       |
| $f$  | X        | X | X | X | X       |
| Коэффициент сцепления с мокрым дорожным покрытием              | X        |   |   |   | X       |
| Темп. мокрой поверхности (°C):                                 |          |   |   |   |         |
| Темп. окружающей среды (°C):                                   |          |   |   |   |         |
| Замечания  |          |   |   |   |         |

<sup>1)</sup> Для шин классов С2 и С3: соответствующее указанному давлению в маркировке на боковине согласно пункту 4.1 настоящих Правил.

<sup>2)</sup> Для шин классов С2 и С3: предельное значение составляет 5 %.

<sup>3)</sup> Для шин классов С2 и С3: коэффициент  $CVal(\mu_{peak})$  не определяется и не применяется.

<sup>4)</sup> Для шин классов С2 и С3 корректировку по температуре не проводят.

*Пример 2: Протокол испытания для определения коэффициента сцепления шин в новом состоянии с мокрым дорожным покрытием на основе метода с использованием транспортного средства*

| Номер протокола испытания:                                    | Дата испытания:           |         |                    |         |                    |         |                    |         |                    |         |
|---|---------------------------|---------|--------------------|---------|--------------------|---------|--------------------|---------|--------------------|---------|
| Трек:   |                           |         |                    |         |                    |         |                    |         |                    |         |
| Глубина текстуры (мм):  |                           |         |                    |         |                    |         |                    |         |                    |         |
| $BFC_{ave,corr,1}$ :  |                           |         |                    |         |                    |         |                    |         |                    |         |
| $BFC_{ave,corr,2}$ :  |                           |         |                    |         |                    |         |                    |         |                    |         |
| $CVal(BFC_{ave,corr})$ :                                      |                           |         |                    |         |                    |         |                    |         |                    |         |
| Толщина слоя воды (мм):                                       |                           |         |                    |         |                    |         |                    |         |                    |         |
| Миним.:<br>Темп. мокрой поверхности (°C):                     | Максим.:                  |         |                    |         |                    |         |                    |         |                    |         |
| Максим.:<br>Темп. окружающей среды (°C):                      |                           |         |                    |         |                    |         |                    |         |                    |         |
| Транспортное средство   |                           |         |                    |         |                    |         |                    |         |                    |         |
| Марка:  |                           |         |                    |         |                    |         |                    |         |                    |         |
| Модель:   |                           |         |                    |         |                    |         |                    |         |                    |         |
| Тип:  |                           |         |                    |         |                    |         |                    |         |                    |         |
| Год регистрации:  |                           |         |                    |         |                    |         |                    |         |                    |         |
| Максимальная нагрузка на ось:                                 | Передняя                  | Задняя  |                    |         |                    |         |                    |         |                    |         |
| Начальная скорость (км/ч):                                    | Конечная скорость (км/ч): |         |                    |         |                    |         |                    |         |                    |         |
| №   | 1                         | 2       | 3                  | 4       | 5                  |         |                    |         |                    |         |
| Марка   |                           |         |                    |         |                    |         |                    |         |                    |         |
| Рисунок/коммерческое описание                                 | СЭИШ...                   |         |                    |         |                    |         |                    |         |                    |         |
| Размер  |                           |         |                    |         |                    |         |                    |         |                    |         |
| Эксплуатационное описание                                     |                           |         |                    |         |                    |         |                    |         |                    |         |
| Исходное (испытательное) давление вшине <sup>1)</sup> , (кПа) |                           |         |                    |         |                    |         |                    |         |                    |         |
| Идентификационный номер шины                                  |                           |         |                    |         |                    |         |                    |         |                    |         |
| Маркировка M+S (да/нет)                                       |                           |         |                    |         |                    |         |                    |         |                    |         |
| Маркировка 3PMSE (да/нет)                                     |                           |         |                    |         |                    |         |                    |         |                    |         |
| Обод  |                           |         |                    |         |                    |         |                    |         |                    |         |
| Давление на переднюю ось (кПа)                                | слева:                    | справа: | слева:             | справа: | слева:             | справа: | слева:             | справа: |                    |         |
| Давление на заднюю ось (кПа)                                  | слева:                    | справа: | слева:             | справа: | слева:             | справа: | слева:             | справа: |                    |         |
| Нагрузка на переднюю ось (кг)                                 | слева:                    | справа: | слева:             | справа: | слева:             | справа: | слева:             | справа: |                    |         |
| Нагрузка на заднюю ось (кг)                                   | слева:                    | справа: | слева:             | справа: | слева:             | справа: | слева:             | справа: |                    |         |
|   | Тормозной путь (м)        | $BFC_i$ | Тормозной путь (м) | $BFC_i$ | Тормозной путь (м) | $BFC_i$ | Тормозной путь (м) | $BFC_i$ | Тормозной путь (м) | $BFC_i$ |
| Измерение   | 1                         |         |                    |         |                    |         |                    |         |                    |         |
|   | 2                         |         |                    |         |                    |         |                    |         |                    |         |
|   | 3                         |         |                    |         |                    |         |                    |         |                    |         |
|   | 4                         |         |                    |         |                    |         |                    |         |                    |         |
|   | 5                         |         |                    |         |                    |         |                    |         |                    |         |
|   | 6                         |         |                    |         |                    |         |                    |         |                    |         |
|   | 7                         |         |                    |         |                    |         |                    |         |                    |         |
|   | 8                         |         |                    |         |                    |         |                    |         |                    |         |
|   | 9                         |         |                    |         |                    |         |                    |         |                    |         |
|   | 10                        |         |                    |         |                    |         |                    |         |                    |         |
| $BFC_{ave}$   |                           |         |                    |         |                    |         |                    |         |                    |         |
| Стандартное отклонение, $\sigma_{BFC}$                        |                           |         |                    |         |                    |         |                    |         |                    |         |
| $CVBFC \leq 4\%^{2)}$   |                           |         |                    |         |                    |         |                    |         |                    |         |

| <i>№</i>  | <i>1</i> | <i>2</i> | <i>3</i> | <i>4</i> | <i>5</i> |
|---|----------|----------|----------|----------|----------|
| $CVal(BFC_{ave}) \leq 5\%$ <sup>3)</sup>          | X        | X        | X        | X        | X        |
| $BFC_{ave,corr}(R)$                               | X        | X        | X        | X        | X        |
| $BFC_{adj}(R)$                                    | X        | X        | X        | X        | X        |
| <i>f</i>  | X        | X        | X        | X        | X        |
| Коэффициент сцепления с мокрым дорожным покрытием | X        |          |          |          | X        |
| Темп. мокрой поверхности (°C):                    |          |          |          |          |          |
| Темп. окружающей среды (°C):                      |          |          |          |          |          |
| Замечания   |          |          |          |          |          |

<sup>1)</sup> Для шин классов С2 и С3: соответствующее указанному давлению в маркировке на боковине согласно пункту 4.1 настоящих Правил.

<sup>2)</sup> Для шин классов С 2 и С 3: предельное значение составляет 3 %.

<sup>3)</sup> Для шин классов С2 и С3: коэффициент  $CVal(BFC_{ave})$  не определяется и не применяется».

### Приложение 7,

Пункт 4.8.4 изменить следующим образом:

«4.8.4 Расчет относительного коэффициента сцепления с заснеженным дорожным покрытием

Коэффициент сцепления с заснеженным дорожным покрытием представляет собой относительную характеристику потенциальной шины по сравнению с эталонной шиной.

$$SG(Tn) = f \cdot \frac{\overline{AA}_{Tn}}{wa_{SRTT}}$$

где  $\overline{AA}_{Tn}$  — среднее арифметическое значение средних ускорений в  $n$ -ом испытании потенциальной шины,

а значение *f* приводится в следующей таблице:

| Эталонная шина  | Коэффициент      |
|---|------------------|
| СЭИШ19,5, СЭИШ22,5  | <i>f</i> = 1,000 |
| СЭИШ19,5 с узкими прорезями,<br>СЭИШ22,5 с узкими прорезями | <i>f</i> = 1,670 |

»

Пункт 4.9.2 изменить следующим образом:

«4.9.2 Принцип подхода

В основу данного принципа положено использование контрольной шины и двух различных транспортных средств для оценки потенциальной шины в сравнении с эталонной шиной.

Одно транспортное средство может быть оснащено эталонной шиной и контрольной шиной, а другое — контрольной шиной и потенциальной шиной. Все условия соответствуют пункту 4.7 выше.

В ходе первой оценки контрольную шину С сравнивают с эталонной шиной. Полученный результат (коэффициент сцепления с заснеженным дорожным покрытием SG1) представляет собой относительную эффективность контрольной шины по сравнению с эталонной шиной.

$$SG1 = f \cdot \frac{\overline{AA_c}}{wa_{SRTT}}$$

В ходе второй оценки потенциальную шину **Tn** сравнивают с контрольной шиной **C**. Полученный результат (коэффициент сцепления с заснеженным дорожным покрытием SG2) представляет собой относительную эффективность потенциальной шины по сравнению с контрольной шиной.

$$SG2 = \frac{\overline{AA_{Tn}}}{\overline{AA_c}}$$

Вторая оценка проводится на том же треке, что и первая. Температура воздуха должна быть в диапазоне  $\pm 5$  °C от температуры первой оценки. Комплект контрольных шин должен быть тем же, что и комплект, использованный для первой оценки.

Коэффициент сцепления с заснеженным дорожным покрытием потенциальной шины по сравнению с эталонной шиной выводят путем умножения значений относительной эффективности, рассчитанных выше:

$$SG = SG1 \cdot SG2$$

»

*Приложение 7, добавление 3, часть 5 изменить следующим образом:*

«5. Результаты испытаний: среднее значений ускорений (м/с<sup>2</sup>)

| Номер прогона                        | Технические требования    | СЭИШ (1-е испытание) | Потенциальная шина 1 | Потенциальная шина 2 | Потенциальная шина 3 | СЭИШ (2-е испытание) |
|--------------------------------------|---------------------------|----------------------|----------------------|----------------------|----------------------|----------------------|
| 1                                    |                           |                      |                      |                      |                      |                      |
| 2                                    |                           |                      |                      |                      |                      |                      |
| 3                                    |                           |                      |                      |                      |                      |                      |
| 4                                    |                           |                      |                      |                      |                      |                      |
| 5                                    |                           |                      |                      |                      |                      |                      |
| 6                                    |                           |                      |                      |                      |                      |                      |
|                                      |                           |                      |                      |                      |                      |                      |
|                                      |                           |                      |                      |                      |                      |                      |
| Среднее значение                     |                           |                      |                      |                      |                      |                      |
| Стандартное отклонение               |                           |                      |                      |                      |                      |                      |
| Коэффициент скольжения (в процентах) |                           |                      |                      |                      |                      |                      |
| Коэффициент разброса                 | $CV_{AA} \leq 6 \%$       |                      |                      |                      |                      |                      |
| Коэффициент проверки                 | $CV_{AA(SRTT)} \leq 6 \%$ | X                    | X                    | X                    | X                    |                      |

| Номер прогона  | Технические требования | <i>СЭИШ</i> (1-е испытание) | Потенциальная шина 1 | Потенциальная шина 2 | Потенциальная шина 3 | <i>СЭИШ</i> (2-е испытание) |
|--|------------------------|-----------------------------|----------------------|----------------------|----------------------|-----------------------------|
| Средневзвешенное значение СЭИШ                         |                        |                             | X                    | X                    | X                    | X                           |
| <i>f</i>   |                        |                             | X                    | X                    | X                    | X                           |
| Коэффициент сцепления с заснеженным дорожным покрытием |                        | 1,00                        |                      |                      |                      | X                           |

<sup>1)</sup> Соответствующее указанному давлению в маркировке на боковине согласно пункту 4.1 настоящих Правил.

<sup>2)</sup> См. разовое применение».

## II. Обоснование

1. Как указано в неофициальном документе GRBP-78-28-Rev.1, основная цель этого дополнения заключается в улучшении воспроизводимости метода проведения испытаний для измерения сцепления с заснеженным дорожным покрытием путем замены нынешних эталонных шин класса С3 СЭИШ19,5 и 22,5 на новые эталонные шины класса С3 СЭИШ19,5 и 22,5 с узкими прорезями.

2. Поскольку эти новые эталонные шины будут также использоваться для оценки эффективности сцепления с мокрым дорожным покрытием, необходимо внести изменения в процедуру определения коэффициента сцепления шин класса С2 и класса С3 с мокрым дорожным покрытием, описанную в части В приложения 5. Кроме того, в настоящем документе предлагаются дополнительные изменения, направленные на совершенствование этой процедуры. Название пункта 7 в содержании отныне соответствует названию пункта 7.

3. В отличие от процедуры испытания для измерения сцепления с заснеженным дорожным покрытием, СЭИШ19,5 и СЭИШ22,5 в настоящее время не могут заменять друг друга при проведении испытания для определения коэффициента сцепления с мокрым дорожным покрытием, поскольку выбор той или иной шины зависит от ширины профиля потенциальной шины. При проведении испытаний это положение порождает неопределенность и логистические трудности, поскольку на одно и то же транспортное средство не всегда можно установить СЭИШ и потенциальную шину. Как и предполагалось в неофициальном документе GRBP-78-28-Rev.1, анализ результатов испытаний для оценки сцепления с мокрым дорожным покрытием подтвердил статистическую эквивалентность двух новых шин класса С3 СЭИШ19,5 и СЭИШ 22,5 с узкими прорезями и двух нынешних СЭИШ19,5 и СЭИШ22,5. В этой связи предлагается устраниТЬ существующие ненужные ограничения. Более жесткие ограничения по нагрузке, предусмотренные в пункте 2.2.2.4, обеспечивают соответствие данного дополнения действующему варианту правил ООН: на практике изменение эталонной шины не будет распространяться на большую часть потенциальных шин, а в случае потенциальных шин определенных размеров, которых на сегодняшний день с трудом поддаются испытаниям, можно будет проводить их сопоставление непосредственно с нужной эталонной шиной.

4. В основе применяемого на сегодняшний день метода измерения и проверки фрикционных свойств мокрого дорожного покрытия треков для класса С2 и С3 лежит значение  $\mu_{peak}$  СЭИШ16 класса С1. Данное положение является сложным и не вполне эффективным, в результате чего во время испытаний невозможно проводить проверку фрикционных свойств трассы в конкретных условиях. Как и предполагалось в неофициальном документе GRBP-78-28-Rev.1, по аналогии с предписаниями в отношении процедур определения коэффициента сцепления с мокрым дорожным покрытием шин класса С1 (новых и изношенных), было предложено проводить

проверку поверхности трека для классов С2 и С3 и результатов испытаний в каждой сессии испытаний с использованием того же метода и тех же эталонных шин, которые используются в самой программе оценки. Анализ результатов испытаний для определения коэффициента сцепления с мокрым дорожным покрытием (в различных условиях и на разных треках) позволил получить предлагаемые значения фрикционных свойств мокрого дорожного покрытия (для каждой эталонной шины и для каждого из методов).

5. В настоящий момент проводится пересмотр стандарта ISO 15222, аналогичный пересмотру, предлагаемому в настоящем документе в целях обеспечения глобальной стандартизации и содействия гармонизации предписаний во всем мире.

6. Для того чтобы технические службы могли по мере необходимости адаптировать испытательные треки к новым требованиям и чтобы обеспечить плавный переход на использование новых СЭИШ19,5 и СЭИШ22,5 с узкими прорезями без необходимости преждевременного отказа от нынешних СЭИШ19,5 и СЭИШ22,5, вводятся переходные положения. Использование нынешних СЭИШ19,5 и СЭИШ22,5 будет прекращено в конце 2028 года.

7. Образцы протоколов испытаний приведены в соответствие с пересмотренной процедурой испытаний.

8. Ссылки обновлены в соответствии с внесенными изменениями, касающимися нумерации пунктов.

---